

Б.Т. Кадхем, А.Н. Беляев, С.В. Смоловик

ПОДАВЛЕНИЕ КРУТИЛЬНЫХ КОЛЕБАНИЙ ВАЛОПРОВОДА В ЭЛЕКТРОПЕРЕДАЧЕ С ПРОДОЛЬНОЙ ЕМКОСТНОЙ КОМПЕНСАЦИЕЙ

Один из способов повышения пропускной способности линий электропередачи, известный с конца 40-х годов, — применение продольной емкостной компенсации. Последовательная компенсация уменьшает общее индуктивное сопротивление линии электропередачи и таким образом делает линии электрически “короче” [1–3].

Важной особенностью последовательно включенных конденсаторных батарей как части системы электропередачи является их высокая надежность и наличие собственных устройств защиты. Надежность устройств продольной компенсации (УПК) находится на уровне таких элементов, как линии, выключатели, трансформаторы и т. д. Система защиты УПК обеспечивает, с одной стороны, быстрое и эффективное шунтирование конденсаторов в условиях, когда внешние возмущения могли бы вызвать повреждение конденсаторного оборудования, а с другой — повторное включение УПК в систему с минимальным запаздыванием после ликвидации повреждения в примыкающей сети.

Выбор местоположения УПК и степени компенсации производится на основе оценки экономичности и надежности работы энергосистемы. Степень компенсации обычно находится между 25 и 70 % по отношению к индуктивному сопротивлению линии. Диапазон установленных мощностей УПК варьируется в пределах от 100 до 1000 МВА.

Вал турбоагрегата представляет собой сложную колебательную систему с большим количеством степеней свободы, в которой возможно развитие и длительное существование опасных для конструкции турбоагрегата многочастотных процессов. Характер этих процессов зависит от электромагнитных моментов генератора и возбудителя, в свою очередь определяемых работой АРВ и связью генератора с ЭЭС. В силу этого демпферные свойства турбоагрегата должны исследоваться на основе комплексной модели, включающей математические описания валопровода, генератора

(с учетом условий его присоединения к ЭЭС), возбудителя и АРВ [4].

В качестве основного объекта исследования принята простейшая расчетная схема электропередачи с УПК, представленная на рис. 1. Для упрощения исследований и однозначной трактовки получаемых результатов предполагалось, что параметры всех индуктивных элементов электропередачи постоянны. Исследования резонансных процессов в компенсированной электропередаче проводились в основном для турбогенератора ТВВ-200.

Субсинхронный резонанс представляет собой состояние электроэнергетической системы, при котором происходит обмен энергиями между электрической сетью и валопроводом генератора на одной или нескольких частотах, лежащих ниже синхронной. Вероятность такого взаимодействия существенно возрастает при использовании установок продольной емкостной компенсации. Благодаря наличию емкости собственная (резонансная) частота электрической системы (см. рис. 1) становится меньше:

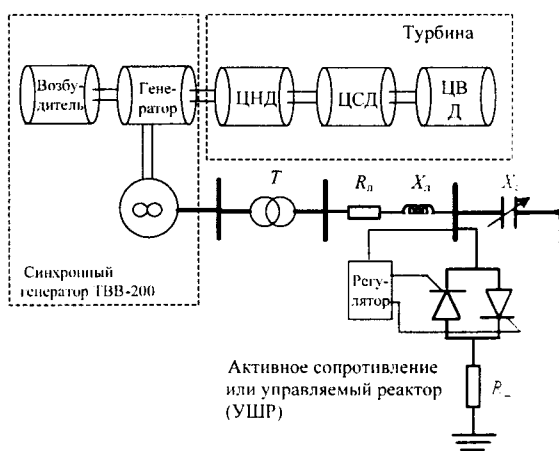


Рис. 1. Расчетная схема электропередачи с продольной емкостной компенсацией

синхронной и в простейшем случае генератора, работающего параллельно с системой, ее конечной мощности, составляет

$$\omega_n = \omega_0 \sqrt{\frac{X_C}{X_d'' + X_t + X_L}}, \quad (1)$$

где ω_0 — синхронная частота вращения; X_C — реактивное сопротивление емкости; X_d'' — сверхпереходное индуктивное сопротивление генератора; X_t , X_L — индуктивные сопротивления трансформатора и линии электропередачи на синхронной частоте.

Наложение крутых колебаний с частотой ω_n на вращение ротора с частотой ω_0 порождает составляющие статорного напряжения подсинхронной частоты

$$\omega_{\text{под}} = \omega_0 - \omega_n, \quad (2)$$

а также надсинхронной частоты

$$\omega_{\text{над}} = \omega_0 + \omega_n. \quad (3)$$

Когда подсинхронная частота приближается к собственной (резонансной) частоте электрической системы, компонента тока статора на этой частоте образует составляющую электромагнитного момента, которая поддерживает колебания вала.

Обычно эти колебания достаточно быстро возрастают и представляют собой серьезную опасность для валопровода. Тем не менее значительные экономические выгоды от использования УПК заставляют идти не по пути отказа от применения, а по пути разработки мероприятий, предотвращающих субсинхронный резонанс. В ряде случаев внедряют системы релейной защиты (хотя их, скорее, можно отнести к информационно-вычислительным системам), которые отключают генераторы от сети при появлении признаков резонансного процесса.

Появление продольно включенной емкости существенно изменяет демпферные свойства электропередачи. Для выявления возможности электромеханического резонансного взаимодействия нами были выполнены расчеты характеристических чисел системы уравнений, описывающих электропередачу, при изменении величины емкостного сопротивления УПК X_c по отношению к суммарному индуктивному сопротивлению электропередачи $X_L = X_d + X_t + X_L = 0,85 = 1,7 X_L$ (табл. 1).

В табл. 2 приведены собственные значения (характеристические числа) для электропередачи с турбогенератором ТВВ-200 и при $X_c = 0,6 X_t$. Эти числа могут быть разделены на группы и пронумерованы для удобства: характеризующие валопровод (номера 1–8), сеть

Таблица 1
Теоретический расчет собственных частот
электрической системы

X_c	$\omega = \omega_0 \sqrt{\frac{X_C}{1,7 \cdot X_L}}$	$\omega_0 - \omega$	$\omega_0 + \omega$
$0,25 X_t$	120,47	193,68	343,63
$0,32 X_t$	136,3	177,85	450,46
$0,60 X_t$	186,63	127,52	500,79

Таблица 2
Собственные значения матрицы,
описывающей маловозмущенные переходные процессы
в электропередаче

Номера характеристических чисел	Вещественная часть	Мнимая часть
1, 2	-0,14582	407,27
3, 4	-0,039118	191,15
5, 6	-0,023694	174,19
7, 8	+1,8462	125,79
9, 10	-29,393	42,03
11, 12	-7,7068	127,54
13, 14	-6,4786	500,36
15, 16	-0,71174	9,3468
17	-2,4456	0,0
18	-1,1006	0,0
19	-0,86591	0,0
20	-0,31861	0,0
21	-38,464	0,0
22	-25,686	0,0
23	-14,344	0,0
24	-11,149	0,0

(13, 14), АРВ и обмотки возбуждения генератора и возбудителя (9, 10, 17–24). Собственные значения (15, 16) связаны с движением ротора генератора относительно приемной системы.

Как известно, вещественные части таких чисел позволяют судить о быстроте затухания отдельных составляющих свободного процесса, а мнимые части — об их частотах.

Кривые изменения подсинхронной и надсинхронной частот электромагнитных колебаний в зависимости от уровня емкостной компенсации представлены на рис. 2. Они показывают, что при определенных условиях собственная подсинхронная частота электрической сети будет совпадать с частотой колебаний валопровода (в рассматриваемом примере это частоты 191, 174 и 125 рад/с).

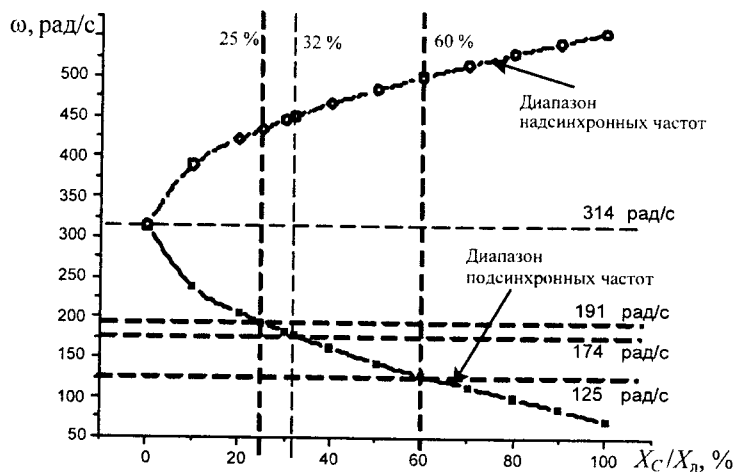


Рис. 2. Влияние степени продольной емкостной компенсации на частоты электромагнитного резонанса (—□—) и условия электромеханического резонанса ((---) — собственные частоты валопровода)

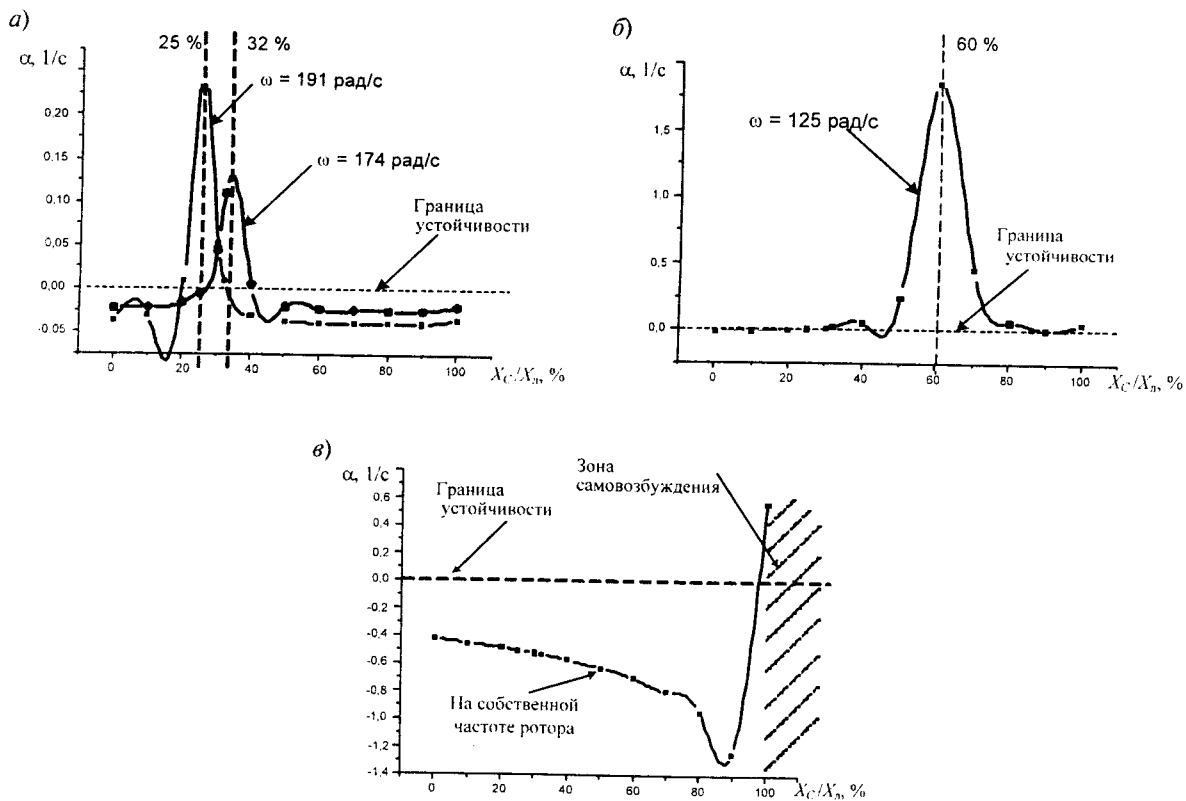


Рис. 3. Влияние степени продольной компенсации на показатели затухания колебаний валопровода с собственными частотами: а – 191 и 174 рад/с; б – 125 рад/с; в – с частотой ротора 9,35 рад/с



При совпадении какой-либо из собственных частот электромагнитных колебаний в электрической системе с одной из собственных частот валопровода возникают условия электромеханического резонанса, представляющие опасность для турбоагрегата. На рис. 3, а, б представлены кривые, которые иллюстрируют изменение вещественных частей характеристических чисел, соответствующих колебаниям валопровода соответственно на частотах 191, 174 и 125 рад/с. Взаимодействие валопровода с УПК на частоте 407 рад/с невозможно, ибо такая частота не соответствует величинам X_C .

Изменение степени устойчивости колебаний ротора на собственной частоте относительно приемной системы в зависимости от степени компенсации электропередачи иллюстрирует рис. 3, в. Видно, что зона асинхронного самовозбуждения (неустойчивость данной составляющей движения) достигается при значениях $X_C \gg X_L$, т. е. значительно превышающих индуктивное сопротивление линии электропередачи.

При величинах X_C в диапазоне 0,1–0,6 X_L , т. е. $X_C = 0,05$ –0,3 о. е. (что весьма вероятно с точки зрения технически приемлемых величин степени компенсации), имеет место увеличение положительной вещественной части характеристического числа, соответствующего частоте $\omega = 191$ рад/с. При $X_C = 0,25X_L$ она равна $\alpha = +0,23213$, что требует выполнения исследований по определению характеристик процессов в такой электропередаче. Наиболее опасными являются значения $X_C = 0,32X_L$, когда $\alpha = +0,10989$ 1/с, $\omega = 174$ рад/с, а также $X_C = 0,6X_L$, когда $\alpha = +1,8462$ 1/с, $\omega = 125$ рад/с. Указанные величины X_C могут превышать технически реальные, однако, как отмечалось выше, необходимость оценки характеристик процессов может возникнуть и при таких сопротивлениях в силу возможных изменений конфигурации электрической сети, внешней по отношению к эквивалентной электростанции.

В течение последнего десятилетия были разработаны и созданы конструкции управляемых аппаратов, использующих эффект насыщения ферромагнитного сердечника для изменения в достаточно широких пределах входного индуктивного сопротивления. Они предназначались главным образом для управления режимом напряжений в дальних электропередачах. Весьма вероятно применение управляемых шунтирующих реакторов (УШР) и вблизи установок продольной емкостной компенсации, поскольку в этих условиях требуется сравнительно быстрая коррекция режима реактивной мощности. Кроме того, динамические свойства УШР позволяют использовать его и в качестве средства подавления субсинхронного резонанса. Предложения по установке УШР вблизи электростанции, передающей энергию через компенсированную электропередачу, описаны в [4].

В качестве управляющих параметров ранее использовались скольжение ротора турбогенератора, измеряемое специальным устройством, и его производная. Нами были рассмотрены установка УШР в непосредственной близости от УПК и применение для управления реактором сигналов типа отклонения напряжения в узле его подключения и производной напряжения [5], а также аналогичных сигналов для тока линии (рис. 4).

Демпферные свойства электропередачи с управляемым шунтирующим реактором и активным сопротивлением иллюстрирует рис. 5. Из него следует, что применение УШР обеспечивает демпфирование колебаний на частоте 125 рад/с с приемлемым показателем затухания. Кроме того, регулирование УШР обеспечивает хорошее затухание электромеханических колебаний ротора генератора.

Проверка эффективности принятого закона управления иллюстрируется графиками на рис. 6 и 7, соответствующими работе УПК и УШР после возмущения режима в схеме электропередачи с резонансными параметрами. Достаточно быстрое изменение проводимостей продольной емкости и реактора приводит к эффективному демпфированию электрических и механических переходных процессов рассматриваемой электропередачи.

Таким образом, в ходе работы проанализированы переходные процессы в электропередаче с УПК. При реальных степенях компенсации возможно возникновение резонансных явлений на частотах, включающих низшие собственные частоты колебаний валопровода. Субсинхронный резонанс проявляется в быстром нарастании скручивающих моментов и достижении их опасных величин за время $t = 0,8$ –1 с.

В качестве мероприятий по противодействию субсинхронному резонансу рассмотрено

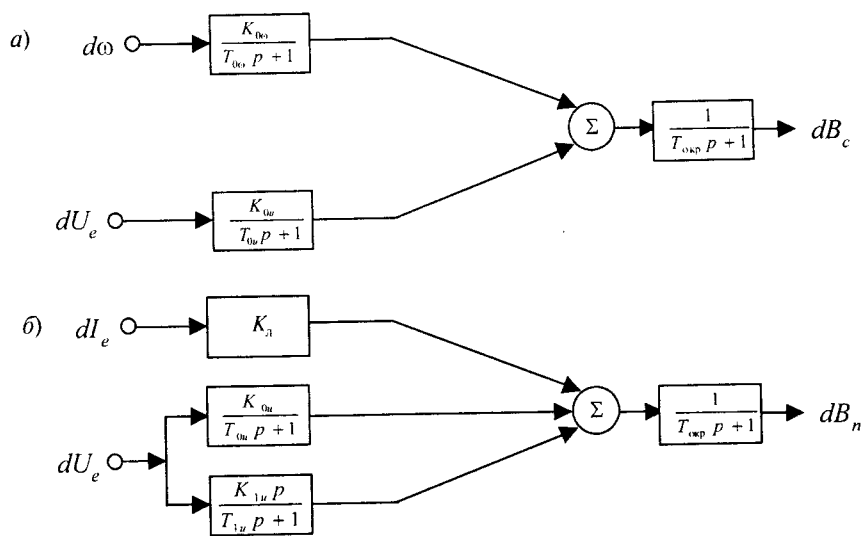


Рис. 4. Блок-схема систем управления продольной емкостью (a) и УШР (б)

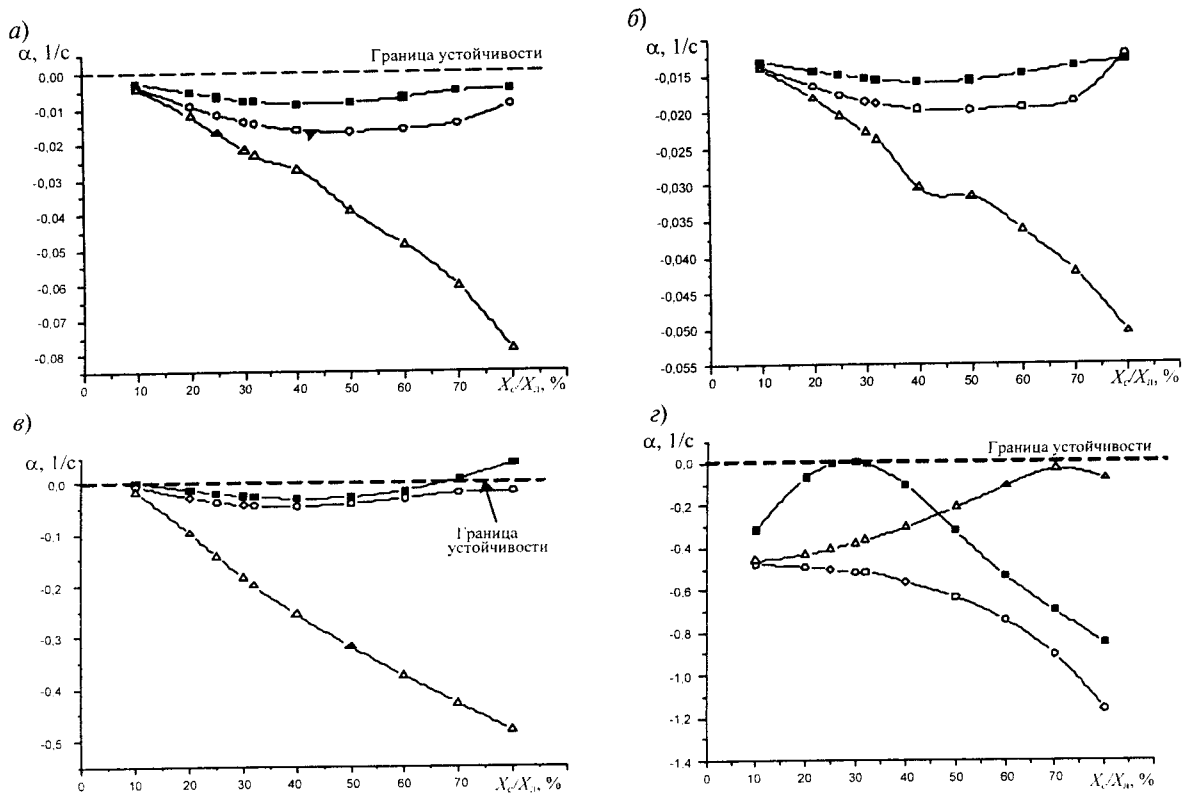


Рис. 5. Зависимости показателей затухания колебаний на резонансных частотах валопровода 191 (a), 174 (б), 125 (в), рад/с, и ротора (г) от уровня продольной емкостной компенсации при разных способах демпфирования: с помощью активного сопротивления (—■—), УШР (—□—) и УШР+УПК (—△—)

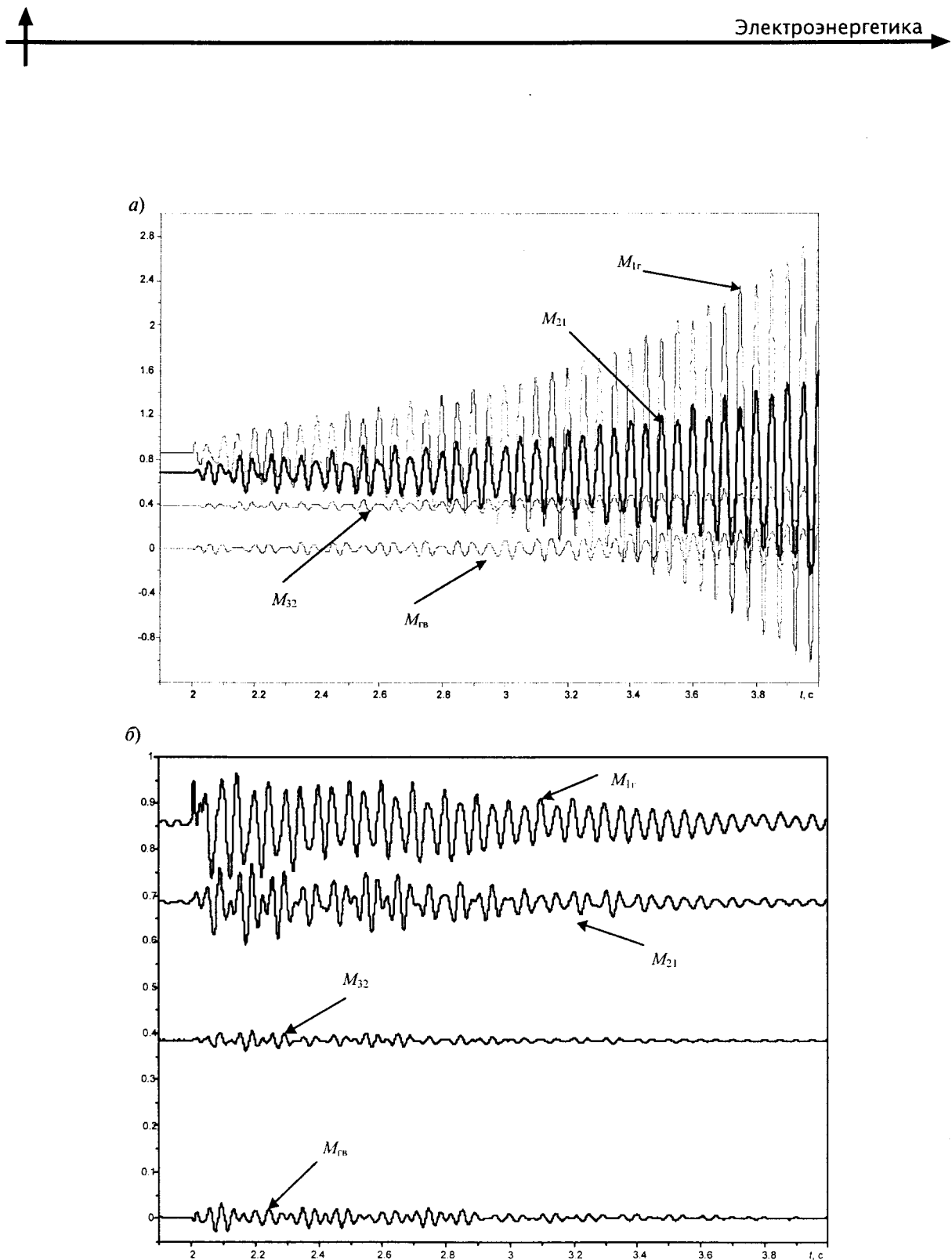


Рис. 6. Изменение скручивающих моментов после возмущения в системе ($X_c/X_n = 60\%$) при отсутствии управляемого реактора (а) и с использованием УШР (б)

Скручивающие моменты: между генератором и ЦНД (M_{1r}), между генератором и возбудителем (M_{rv}), между ЦНД и ЦСД (M_{12}), между ЦСД и ЦВД (M_{32})

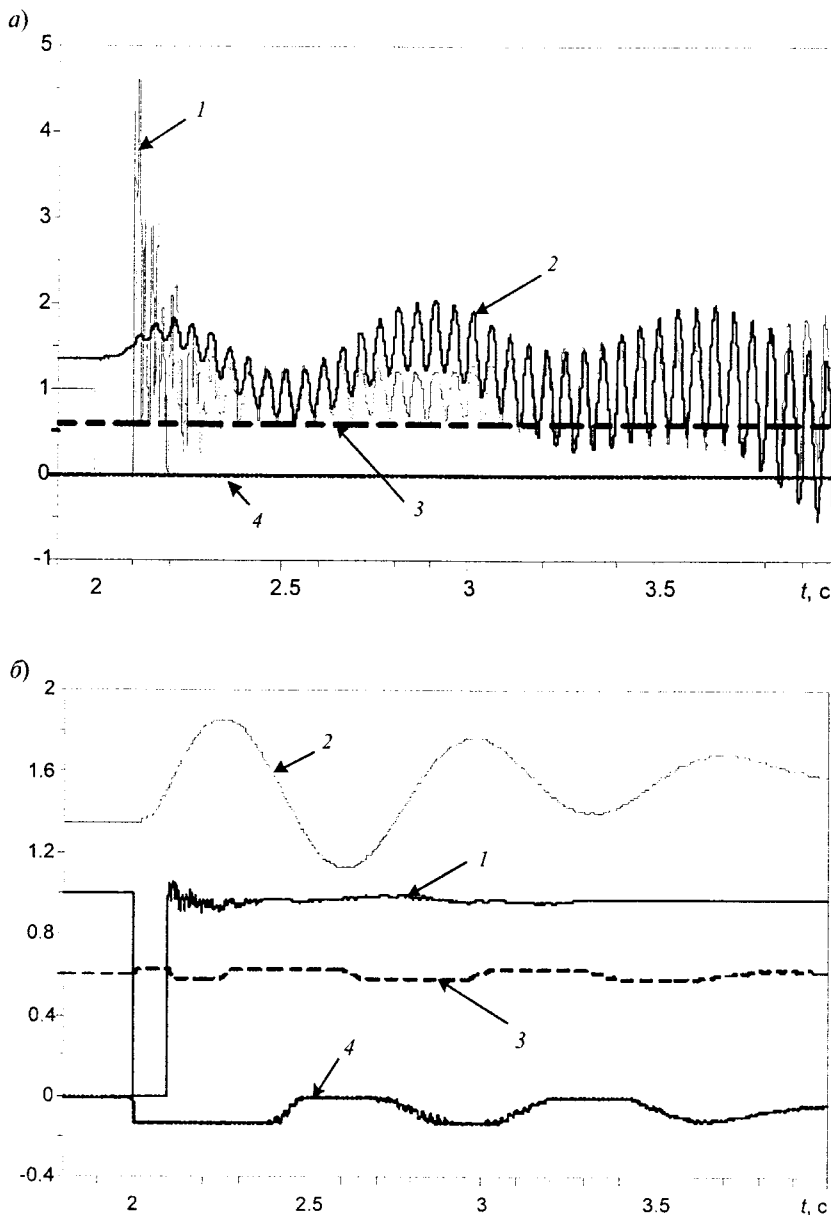


Рис. 7. Переходный процесс, вызванный коротким замыканием длительностью 0,1 с на шинах УПК при отсутствии управления уровнями продольной и поперечной компенсации (а) и при использовании УШР+УПК (б):

1 – напряжение на зажимах генератора; 2 – угол генератора; 3 – уровень компенсации; 4 – изменение проводимости УШР на шинах УПК

применение активных сопротивлений, включаемых вблизи зажимов УПК с помощью тиристорного коммутатора на фазное или междудфазное напряжение, и управляемого шунтирующего реактора. Для управления указанными устройствами используются сигналы отклонения тока линии электропередачи, напряжения на зажимах емкости и их производные. Наи-

большей эффективностью из рассмотренных мероприятий обладает управляемый реактор, обеспечивающий достаточное демпфирование на частотах крутильных колебаний. Эффективность указанных мероприятий проверена также путем расчета динамических процессов по программам, базирующимся на численном интегрировании уравнений.

B *Beurax yipoumehn a cheunfinkaunderax*
hineckon jokymethaunn jura bapnctoper ac-
to unpnroat koefifunneht hanpakkhen, par-
hrin othouehno $\frac{U}{U}$, upn yejorbin, par-
cootretbyjoune token crasahr coothomen-
em $L^2 = 10L$, Toraia U , npeactaraiet coogon krac-
cndifinkaunderax he hanpakkhe bapnctopa upn
jaahhnom kraccnfinkaunderax tooke L .

$$\cdot \left(\left(\frac{U_1}{U_2} \right)^{\frac{1}{\alpha}} \right) = B$$

Ha upaktnke upnixoxntca orobapnbata,
k karmy shahene otromenina L_2/L_1 otchont-
ca jahoe shahene β . Echni jira nprocotri
bbglaparb $L_2/L_1 = 10$, to

$$\cdot \left(\frac{1}{\frac{\tau}{2} n} \right)^{\frac{n}{2}} \Bigg/ \left(\frac{1}{\frac{\tau}{2} I} \right)^{\frac{I}{2}} = B$$

B Gojruhincetre ciyahab autipoknmauna
BAX crenephim bispakhenen abrjabterca upn-
gurunantepihon n roqeffunneht f 3abnictkak
ot hamprakehna, tak n ot umnphai nthepraja
ALU, jura kotooporo oh oupejejeratca. Jura pache-
tra f jocatarohno nsmepntr jura tohkn BAX:

$$B = \alpha_{-1}, \quad A = \beta.$$

$$I = BU^{\beta}; \quad U = AI^{\alpha}, \quad (1)$$

$$I = BU^{\beta}; \quad U = AI^{\alpha},$$

MEET CTEHNON BNG

Bapnictopri imygozi imymerjotca B asekrt-
po3hepertrke, B a3tchotci ha nix ochoe ctypo-
aritca orpanhantjei nrephehampeakehn (QTH) —
ycyptonictrba, npejh3ah4ehhpie jira 3amntbi ogo-
pehahndpobahn a3eplocontembi uti 3amntbi ogo-
pehahndpobahn. Lpni b3i3ope y3orbni 3o3iajuun
amehetor sheplocontembi jiehahot crakry ha cta-
g3unphocht napa3mettop QTH. Llo3tomy oheh
reakho, t30bi lpmnmeahema R hnx 3apnctopohn
repa3nika he mehaja cbon cronictra noz bo3jeht-
cctbneim kar noc3orohho nportekahomeru qepe3e tri-
ycyptonictrba majoro tok a homataphom peknume
pa3ogobi, tak n kopotrix nmy3ipcoor tok a Gorb-
w3om an3inuityabi, comporokzahomix peknum or-

БУНРЕНЕ НЕОДНОРОДНОТЯ РАСПРОСТРАНЯЮЩИЕСЯ
ХАРАКТЕРИСТИКИ ПРИМЕНЕНИЯ
ПОЛУЧЕНЫ В РАБОТАХ СОВРЕМЕННЫХ
ИССЛЕДОВАТЕЛЕЙ

B.B. Tumkog, A.B. Hypage

- Luzi A.S., Bianco A., Willis F.L., Abdellaty. Impact of TSCC control methodologies on subsynchronous oscillations // IEEE Trans. on Power Delivery. 18, № 1. P. 243-252.
- Ay-Yilmaz H.3., Okpokoro P.B., Cmutorik C.B. Packetized neperoxahrhix nppouecobaa rechgapatoopaa tnpn he- cimmetpnqhrhix n nochnejorabatrehphix koptortkxa 3-a- mrikahnax // N3ab. By3aoB. Shepertenka. 1990. № 11. C. 47-50.
- Berndes A.H., Cmutorik C.B. Llporpamnpoba- hen ha tpmnepce jtekerptotxnhenecknx n jtekerptop3hep- retnehcenkx sataja. CTh6: Hectrop, 2006.
- Irahami M.R., Edris A. Eigennanlaysis of series compensation schemes reducing the potential of overvoltage. 3. Irahami M.R., Edris A. Eigennanlaysis of series compensation schemes reducing the potential of overvoltage. Vol. 22, № 3. P. 1688-252.

CINCOK JNTEPATYPI

